

6 Ледовые условия на дальневосточных морях

Графики ледовитости, представленные на рис. 6-1–6-3, построены на основе средней декадной ледовитости в % относительно общей площади моря для Охотского и Берингова морей и относительно площади предельного распространения льда для Японского моря (Якунин, 1987, Плотников, 2002). При характеристике ледовых условий используется классификация: умеренная ледовитость (отклонение ледовитости от нормы в пределах $\pm 1\sigma$), большая (превышение нормы более чем 1σ) и малая (ниже нормы более чем 1σ), где σ – среднее квадратическое отклонение. За норму принята средняя многолетняя площадь моря, занятая льдом, за период 1971–2000 гг.

Японское море

В первой декаде марта в Японском море был достигнут сезонный максимум ледовитости; площадь, занятая льдом, достигла 34%, что меньше нормы примерно на 6%. В дальнейшем ледяной покров разрушался, площадь льда уменьшалась примерно на 10% за декаду. В конце месяца площадь льда составляла 13% от площади предельного распространения льда, что меньше нормы на 17% (рис. 6-1). Относительно нормы ледовые условия были мягкими, стандартизованные аномалии – в пределах от $-0,6\sigma \dots -1,7\sigma$.

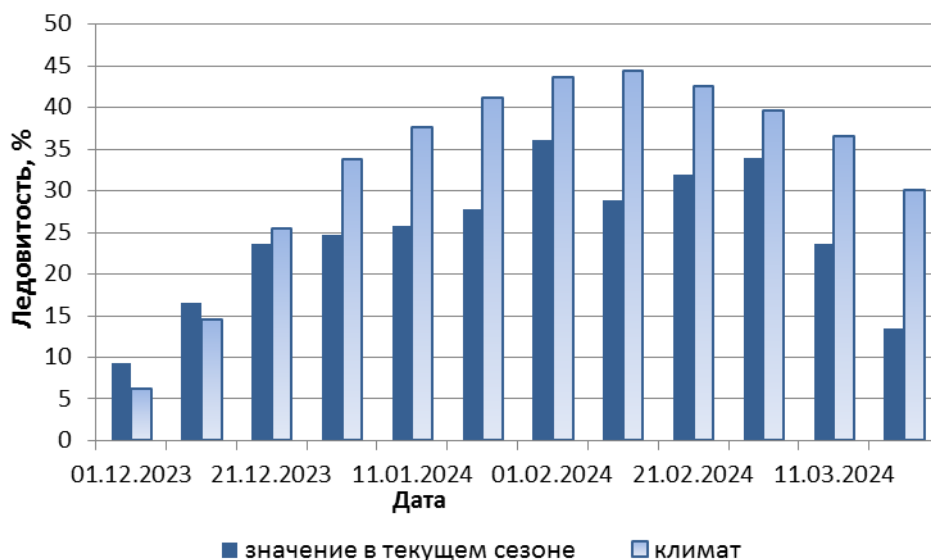


Рис. 6-1 Ледовитость Японского моря по декадам с декабря 2023 г. по март 2024 г. Климатические значения ледовитости получены за период 1971–2000 гг.

Охотское море

После достижения максимума в конце февраля, в первых двух декадах марта наблюдалось слабое разрушение ледяного покрова (на 1–3% за декаду). В третьей декаде ледяной покров начал разрушаться более активно, площадь льда сократилась на 8% за декаду. В конце месяца льдом было покрыто 66% площади моря, что меньше нормы на 7% (рис. 6-2). По суровости ледовые условия в течение всего месяца оставались умеренными, со слабым дефицитом площади льда относительно нормы. Стандартизованные аномалии ледовитости – в пределах от $-0,1\sigma$ до $-0,7\sigma$.



Рис. 6-2 Ледовитость Охотского моря по декадам с декабря 2023 г. по март 2024 г. Климатические значения ледовитости получены за период 1971–2000 гг.

Берингово море

Во второй декаде марта ледовитость моря достигла сезонного максимума, площадь льда составляла 38% от общей площади моря, что превышает норму на 4 %. В третьей декаде месяца появилась тенденция к разрушению ледяного покрова – площадь льда сократилась на 2%. К концу месяца площадь льда составляла 36%, что близко к норме (рис. 6-3). По суровости ледовые условия в течение месяца оставались умеренными – стандартизованные аномалии ледовитости изменялись от $-0,2\sigma$ до $0,7\sigma$.



Рис. 6-3 Ледовитость Берингова моря по декадам с декабря 2023 г. по март 2024 г. Климатические значения ледовитости получены за период 1971–2000 гг.